

# I-292 薄肉断面曲線工型けたの横倒れ座屈

秋田大学 正員 ○ 薄木征三  
 秋田大学 正員 稲嶺知徳  
 北大 正員 瑞辻昇

1. 諸言 薄肉曲線工型けたはこれに鉛直荷重が作用すると一般に大きなねじれ変位を生じ、しかしこの各部分のひずみは依然として弾性限度以内にある場合がある。したがって弾性限度以内は従来小変位理論とする従来の曲線けたに対する暗黙の前提はこれを再検討する必要があると考えられる。また曲線工型けたの横倒れ座屈に関する限りでは、設計上は直線工型けたに対する横倒れ座屈規定を順用してきた。この事も、曲線工型けたの横倒れ座屈とは何れを含めて改めて検討する必要がある。以下では曲線工型けたの大きなねじれを対象とし、有限変位理論の立場から剛性方法を用いて数値計算を行つてみる。

## 2. 解析法 概要是以下のようである。

(1) 薄肉シエルの有限変位理論に対するひずみ-変位関係式とつり合方程式を基礎式とする。この時図の部材軸方向変位  $w^*$  の  $x, y, \theta$  または  $s, n, \varphi$  に関する微係数は小さいとしてこれらとの2乗の項を無視する。

(2) (1)のひずみ-変位関係式に横断面形不变の仮定と、せん断ひずみに関するベルヌーイ・オイラーの仮定を適用する。これにより図の断面内の任意点  $P$  ( $x, y, \theta$ ) の変位は、部材軸線の変位に沿り、次のよう表現される。

$$u = u_0 - y \sin \varphi - x (1 - \cos \varphi), \quad v = v_0 + x \sin \varphi - y (1 - \cos \varphi)$$

$$w = w_0 - y \cdot \{(v_0' + w_0/R) \cos \varphi - u_0' \sin \varphi\} - x \cdot \{u_0' \sin \varphi + (v_0' + w_0/R) \cos \varphi\}$$

$$- w(s, n) \cdot \{\varphi' - u_0' \cos \varphi / R - (v_0' + w_0/R) \sin \varphi / R\} \quad \dots \dots (1)$$

ここで  $w(s, n)$  はモリ関数、' は  $R\varphi$  (= 内巻き微分) を表す。

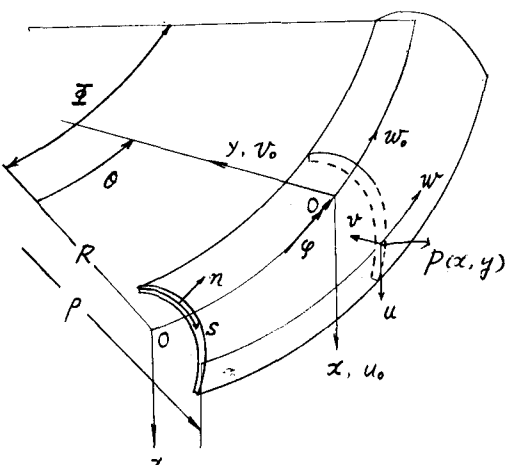
(3) 式(1)を次のひずみ-変位関係式に代入する。

$$\epsilon_0 = \frac{1}{1+m(R_2)^2} \left( \frac{\partial w}{\partial \theta} - \frac{\xi m - \eta l}{\rho^*} \right) + \frac{1}{2} \frac{1}{(1+m(R_2)^2)^2} \left\{ \left( \frac{\partial \xi}{\partial \theta} + \frac{w}{\rho^*} m \right)^2 + \left( \frac{\partial \eta}{\partial \theta} - \frac{w}{\rho^*} l \right)^2 \right\}$$

$$\gamma_s = \frac{1}{1+m(R_2)^2} \frac{\partial w}{\partial s} + \frac{1}{1+m(R_2)^2} \left( \frac{\partial \xi}{\partial \theta} + \frac{w}{\rho^*} m \right) - \frac{1}{(1+m(R_2)^2)(1+n(R_2)^2)} \left( \frac{\partial \xi}{\partial s} + \frac{\zeta}{R_1^*} \right) \left( \frac{\partial \xi}{\partial \theta} + \frac{w}{\rho^*} m \right)$$

$$+ \left( \frac{\partial \eta}{\partial s} - \frac{\zeta}{R_1^*} \right) \left( \frac{\partial \eta}{\partial \theta} - \frac{w}{\rho^*} l \right) \quad \dots \dots (2)$$

ここで  $R_1^*, R_2^*$  は薄肉中央面の  $(s, n)$  面内および  $(n, \varphi)$  面内の曲率半径であり、 $\rho^*$  は



薄肉中央面の曲線の曲率半径 ( $\rho^* = R_2^* l$ )。 $l, m$  は薄肉中央線の方向余弦 ( $l = \cos(s, x)$ ,  $m = \cos(s, y)$ ) である。 $\xi$  は  $s$ ,  $\eta$  は  $s, \pi$  方向の変位である。  
 $\xi = ul + vm$ ,  $\eta = um - vl$  ..... (3)

式(1), (3) より  $(z) \leftarrow \lambda$  すると

$$\begin{aligned} E\theta &= f(x, y, w, u_0, v_0, w_0, \sin\varphi, \cos\varphi) \\ \gamma_s &= g(x, y, w, u_0, v_0, w_0, \sin\varphi, \cos\varphi) \end{aligned} \quad \} \quad \dots \quad (4)$$

の関係が得られる。 $\sin\varphi, \cos\varphi$  をテイラー展開して、ひずみと変位の3次で近似する。  
(4) 増分理論に基づき、荷重増分-変位増分関係式を求める。次に軸線の変位を

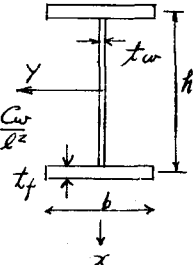
$$\begin{aligned} u_0 &= a_0 + a_1 \theta + a_2 \theta^2 + a_3 \theta^3, & v_0 &= b_0 + b_1 \theta + b_2 \theta^2 + b_3 \theta^3 \\ w_0 &= c_0 + c_1 \theta + c_2 \theta^2 + c_3 \theta^3, & \varphi &= d_0 + d_1 \theta + d_2 \theta^2 + d_3 \theta^3 \end{aligned} \quad \} \quad \dots \quad (5)$$

と近似し、 $a_0, a_1, \dots, d_3 \in \mathbb{R}$  は  $i, j$  の変位で表す。以下は通常の剛性法の手順

を用意する。

3. 計算例 右図で  $l$  を支間として、 $h = \frac{l}{20}$ ,  $b = \frac{l}{3}$ ,  $t_w = \frac{h}{150}$

$$t_f = \frac{b}{25} \text{ と仮定する (11) から標準断面)。すると計算に必要な } \\ \text{ 無次元化 } \chi = \frac{x}{l} = \frac{4}{135}, \quad \kappa = \frac{GJ_y}{EJ_y} = 0.8662 \times 10^{-4}, \quad \lambda^2 = \frac{Ec_w}{ET_y l^2} \\ = 0.1852 \times 10^{-4}, \quad \beta = \frac{EJ_p}{EJ_y} = 1 + \chi, \quad \gamma = \frac{EJ_R}{EJ_y l^2} = 0.6132 \times 10^{-3}$$



となる。 $\therefore \gamma = J_p = \int \frac{R}{\rho} (x^2 + y^2) dF, \quad J_g = \int \frac{R}{\rho} (x^2 + y^2)^2 dF$  である。

下図の  $P_{cr}$  は固有直角問題で得た値である。

$$\frac{1}{EJ_y} \times 10^{-2} \quad \nabla P_{cr} = 4.795 \times 10^{-2}$$

